



БИООРГАНИЧЕСКАЯ ХИМИЯ

mom 1 * № 8 * 1975

VVK 547.9 : 542.953 2

СИНТЕЗ ОЛИГО- И ПОЛИНУКЛЕОТИДОВ

V. СИНТЕЗ ДЕКАДЕОКСИРИБОНУКЛЕОТИДА, КОМПЛЕМЕНТАРНОГО УЧАСТКУ 6–15 ДРОЖЖЕВОЙ ВАЛИНОВОЙ ТРНК.*

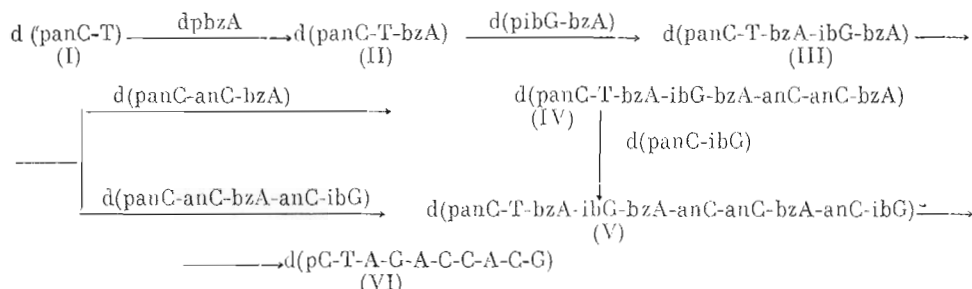
*Берлин Ю. А., Болдырева Е. Ф., Вульфсон А. Н.,
Болосов М. Н., Коробко В. Г., Чуприкова О. А.*

Институт биоорганической химии им. М. М. Шемякина
Академии наук СССР, Москва

Осуществлен химический синтез декадезоксирибонуклеотида d(p_C-T-A-G-A-C-C-A-C-G), комплементарного участку 6–15 дрожжевой валиновой tРНК₁. Синтез проводился последовательным наращиванием 5'-концевого пентануклеотида три- и динуклеотидными блоками, а также прямым взаимодействием двух пентануклеотидов.

В развитие исследований по получению олиго- и полинуклеотидов с заданной последовательностью оснований мы предприняли химический синтез декадезоксирибонуклеотида d(pC-T-A-G-A-C-C-A-C-G), комплементарного участку 6–15 дрожжевой валиновой тРНК₁ и включающего ранее синтезированные нами последовательности 6–10 и 11–15 [3, 4]. Общая методология, использованная в этих синтезах, аналогична разработанной Х. Г. Кораной с соавт. [5] и заключается в построении олигонуклеотидного сегмента в направлении от 5'- к 3'-концу сочетанием ступенчатого и блочного наращивания нуклеотидной цепи. В качестве исходных мономеров использовали дезокситимидиловую (d^rT), N⁶-бензоилдезоксиадениловую (dpbzA), N²-изобутирилдезоксигуаниловую (dpib G) и N⁴-анизоилдезоксицитидиловую (dpan C) кислоты, причем 5'-фосфатный остаток и 3'-гидроксил защищали, соответственно, β -цианэтильной и ацетильной группами; конденсирующими реагентами служили MS и TPS.

Синтез декануклеотида (V) был осуществлен двумя путями (см. схему).



Один из них состоял в наращивании 5'-концевого звена, анизоилдезоксицитидиловой кислоты, последовательно двумя мононуклеотидами дРТ и

* Сообщение IV см. [1]. В настоящей статье использована система сокращений и символов, рекомендованная комиссией IUPAC-IUB [2]. Прочие сокращения: ib — изобутирил, MS — мезитиленсульфохлорид, TPS — триизопропилбензолсульфохлорид, TEAB — триэтиламмонийбикарбонат.

dpbzA, затем динуклеотидом d(pibG-bzA), тринуклеотидом d(panC-anC-bzA) и, наконец, динуклеотидом d(panC-ibG). Использование в этом синтезе нуклеотидных компонентов, меньших по длине, чем нуклеозидные, позволило вводить в конденсацию относительно доступные короткие блоки в значительном избытке и тем самым повысить на каждой стадии выход целевого соединения. В другом варианте синтеза пентануклеотид (III) сразу превращался в декануклеотид (V) взаимодействием с пентануклеотидом d(panC-anC-bzA-anC-ibG). В этом случае — при взаимодействии довольно длинных блоков равной величины — применение избытка одного из компонентов оказалось нецелесообразным, так как затрудняло регенерацию веществ, не вступивших в реакцию, хотя отделение продукта конденсации от исходных соединений несколько упрощалось.

Для идентификации синтезированных соединений использовали спектральные свойства, данные полного экзонуклеазного гидролиза и хроматографические характеристики, в особенности результаты микроколоночной анионообменной хроматографии в 7 М растворе мочевины при различных значениях pH с применением микроспектрофотометрической приставки МСФП-1 [6] (см. «Экспериментальную часть»). Первичная структура конечного декануклеотида (VI) была подтверждена картированием продуктов его частичного экзонуклеазного гидролиза. Для этого структурного анализа декануклеотид (VI) был 5'-дефосфорилирован действием щелочной фосфатазы *E. coli*, затем 5'-рефосфорилирован с помощью $\gamma^{32}\text{P}$ -ATР и Т4-полинуклеотидкиназы и, наконец, подвергнут расщеплению фосфодиэстеразой змеиного яда в мягких условиях. Образовавшуюся смесь продуктов частичного гидролиза разделяли электрофорезом на ацетилцеллюлозе и тонкослойной гомохроматографией на DEAE-целлюлозе во взаимно перпендикулярных направлениях. Положение меченых олигонуклеотидов на карте двухмерного разделения определяли с помощью радиоавтографии и относительные сдвиги интерпретировали в соответствии с эмпирическим правилом [7, 8]. Полученный фингерпринт (см. «Экспериментальную часть») свидетельствует о наличии в анализируемом веществе нуклеотидной последовательности AGACCACG (5'-концевой d³²pC оказался за пределами гомохроматограммы, вследствие чего не удалось идентифицировать d(³²pC-T) по сдвигу при отщеплении dPT).

Сравнение двух описанных выше путей синтеза декануклеотида (VI) показывает, что оба эти подхода могут быть с успехом использованы для получения достаточно длинных олигонуклеотидов.

Экспериментальная часть

Использовали монодезоксирибонуклеотиды производства опытного химического цеха НИОХ СО АН СССР и СКТБ БАВ Главмикробиопрома (Новосибирск); для перевода в пиридиниевую форму их пропускали через колонку с дауэксом 50 (РуН⁺) в растворе 2 М водного пиридина и затем лиофилизовали. Цианетильные и ацетильные производные нуклеотидов, получали, как описано ранее [3]. Для очистки и обезвоживания пиридина продажный препарат марки «ч» кипятили над гранулированным KOH, перегоняли последовательно над KOH, TosCl и снова KOH, а затем выдерживали над молекулярными ситами (4 Å). Хроматографию на бумаге ватман № 1 (длина полосы 47 см) проводили в нисходящем потоке в системе 96% EtOH — 1 М AcONH₄ 7:3, pH 7,5 (система А) или n-PrOH — конц. NH₃ — H₂O 55:10:35 (система Б). Продукты олигонуклеотидного синтеза выделяли ионообменной хроматографией на колонках с DEAE-целлюлозой DE-23 и DE-32 («Whatman», Англия) или DEAE-сепадексом A-25 («Pharmacia», Швеция) в бикарбонатной или хлоридной форме при 4°, используя в качестве элюента, соответственно, водно-спиртовый раствор TEAB или NaCl в 7 М мочевине. TEAB-элюаты вдвое разбавляли пиридином и упаривали в вакууме при 20°, полностью удаляя триэтиламин повторным упариванием с пиридином, а остаток после упа-

ривания осаждали эфиром из пиридина. Выход определяли в оптических единицах ($10E_{280}$ вещества в 1 мл раствора обуславливает оптическую плотность 1 см слоя раствора при 280 нм, равную единице) и рассчитывали в процентах от теоретического по соотношению числа молей продукта реакции и исходного вещества, взятого без избытка; за величину коэффициента молярной экстинкции олигонуклеотида при данной длине волны принимали сумму коэффициентов экстинкций мононуклеотидов (ϵ_{267} 9600 для dPT, ϵ_{302} 22 430 для dpanC, ϵ_{259} 16 700 для dpibG и ϵ_{280} 18 300 для dpbzA [9]) без учета гипохромизма.

1. *d(panC-T-bzA)* (II). 1,6 г (2,9 ммоль) dpbzA(Ac) высушили 5-кратным упариванием с пиридином, растворили в 10 мл пиридина и прибавили 2,5 г (11 ммоль) MS, смесь упарили до объема 5 мл, выдержали в течение 30 мин при 20° и прилили раствор 0,5 г (0,5 ммоль) d[(CNEt)panC-T] (получен описанным ранее способом [4] с выходом 49%) в 5 мл пиридина. Реакционную смесь сконцентрировали в вакууме до объема 5 мл и выдержали 5 ч при 20°. При охлаждении до -20° к смеси прибавили предварительно охлажденные 22 мл 1 М триэтиламина в пиридине и 22 мл воды и оставили на ночь при 4°. Затем обработали 50 мл 2 н. NaOH (20 мин, 0°) и нейтрализовали дауэксом 50 (РуH⁺) до pH 8. Катионит отфильтровали, промыли на фильтре 300 мл 2 М водного пиридина и объединенный фильтрат нанесли на колонку с DEAE-сефадексом (HCO_3^- ; 2,5 × 25 см). Хроматографировали в линейном градиенте TEAB в 15%-ном спирте (3 л 0,1 М — 3 л 0,45 М), собирая фракции 20 мл/30 мин. Из фракций 200—250 (0,34—0,4 М) выделили 8450 OE₂₈₀ (40%) тринуклеотида (II); R_{dPT} 0,77 (система А); $\lambda_{\text{макс}} 280$ нм, $\epsilon_{280}/\epsilon_{302}$ 1,51; $\epsilon_{280}/\epsilon_{260}$ 1,95. Возврат динуклеотида (I) 8%, dpbzA 57%.

Раствор 20 OE₂₈₀ тринуклеотида (II) в 2 мл конц. NH₃ выдержали 24 ч при 20° и 1 ч при 50°, трижды упарили в вакууме, отгоняя аммиак с водным спиртом, остаток растворили в 1 мл воды, амиды аниловой и бензойной кислот удалили экстракцией этилацетатом (2 × 1 мл) и водный раствор упарили, после чего хроматографировали на бумаге. Получили 10 OE₂₆₀ d(pC-T-A), R_{dPT} 0,71 (система Б). Нуклеотидный состав: dpC — dPT — dpa 1,0 : 1,1 : 1,0.

2. *d(piB-G-bzA)*. а) Смесь 1,8 г (3,28 ммоль) d[(CNEt)piB-G], 3,4 г (6,1 ммоль) dpbzA(Ac) и 1,8 г сухого дауэкса 50 (РуH⁺) высушили упариванием с пиридином как в опыте 1, растворили в 10 мл пиридина, прибавили 6 г (30 ммоль) дициклогексилкарбодииимид и перемешивали 72 ч при 20°. Раствор разбавили 10 мл воды, непрореагировавший карбодииimid проэкстрагировали циклогексаном (3 × 30 мл), водный слой отфильтровали, фильтрат обработали 20 мл 2 н. NaOH (20 мин, 0°) и нейтрализовали дауэксом 50 (РуH⁺). Продукты реакции хроматографировали на колонке с DEAE-целлюлозой (HCO_3^- ; 3,5 × 100 см) в линейном градиенте TEAB в 15%-ном спирте (5 л 0,05 М — 5 л 0,2 М), собирая фракции по 25 мл/15 мин. Из фракций 200—250 (0,15—0,17 М) выделили 19 200 OE₂₇₀ динуклеотида d(piB-G-bzA), выход 30%; R_{dPT} 1,42 (система А); $\lambda_{\text{макс}} 260, 280$ нм; $\epsilon_{250}/\epsilon_{260}$ 0,87; $\epsilon_{270}/\epsilon_{260}$ 0,97; $\epsilon_{280}/\epsilon_{260}$ 1,07; $\epsilon_{290}/\epsilon_{260}$ 0,95; $\epsilon_{302}/\epsilon_{260}$ 0,49. Возврат dpibG 7%, dpbzA 45%.

В результате аммонолиза динуклеотида d(piB-G-bzA) получили d(pG-A), R_{dPT} 1,15 (система Б); нуклеотидный состав: dpG — dpa 1,0 : 1,1.

б) 3,14 г (6 ммоль), dpbzA(Ac) высушили, как в опыте 1, растворили в 15 мл пиридина, прибавили 5,4 г (17 ммоль) TPS и выдержали 2 ч при 20°. Реакционную смесь прилили к раствору 1,14 г (2 ммоль) d[(CNEt)piB-G] в 10 мл пиридина, упарили до объема 20 мл и оставили на 6 ч при 20°. После обработки, как в опыте 1, хроматографировали на DEAE-целлюлозе (HCO_3^- ; 5 × 70 см) в линейном градиенте TEAB в 10%-ном спирте (6 л 0,05 М — 6 л 0,35 М), собирая фракции по 32 мл/15 мин. Получили 28 500 OE₂₈₀ (49%) d(piB-G-bzA); возврат dpbzA 65%.

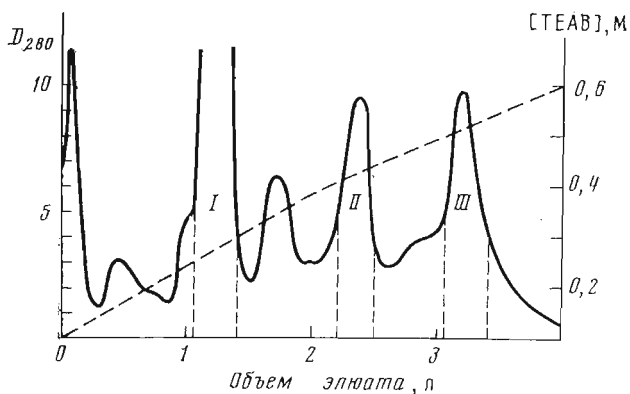


Рис. 1. Выделение пентануклеотида (III). Хроматография на колонке с DEAE-сепадексом (HCO_3^- ; $2,5 \times 20$ см) в градиенте TEAB в 20%-ном спирте, фракции по 10 мл/17 мин. Пик I содержит 7500 ОЕ₂₈₀ d(pibG-bzA), пик II — 2500 ОЕ₂₈₀ d(panC-T-bzA) (II), пик III — 4500 ОЕ₂₈₀ пентануклеотида (III)

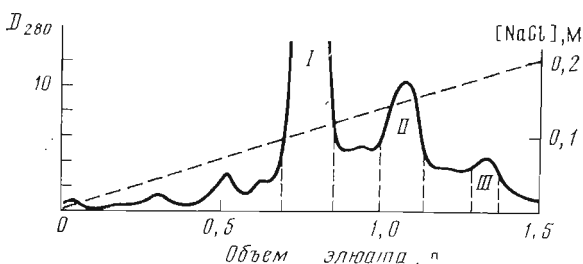


Рис. 2. Выделение октануклеотида (IV). Хроматография на колонке с DEAE-целлюлозой (Cl^- ; $2,5 \times 30$ см) в линейном градиенте NaCl в 7 М мочевине, содержащей 0,02 М трис-HCl, рН 7,5 (1 л 0М — 1 л 0,25 М), фракции по 4,5 мл/15 мин. Пик I содержит 3700 ОЕ₂₈₀ d(panC-anG-bzA), пик II — 800 ОЕ₂₈₀ пентануклеотида (III), пик III — 420 ОЕ₂₈₀ октануклеотида (IV) с примесью 180 ОЕ₂₈₀ пентануклеотида (III)

3. *d(panC-T-bzA-ibG-bzA)* (III) получили взаимодействием 0,23 г (0,17 ммоль) *d[(CNEt)panC-T-bzA]*, 0,46 г (0,48 ммоль) *d[pibG-bzA(Ac)]* и 0,55 г (2,53 ммоль) MS (4,5 ч, 20°). Реакционную смесь обработали, как в опыте 1, и хроматографировали на колонке с DEAE-сепадексом (HCO_3^-) (см. рис. 1). Выход пентануклеотида (III) 4500 ОЕ₂₈₀ (40%), $R_{\text{дpt}}$ 0,35 (система А); $\lambda_{\text{макс}} 280$ нм; $\varepsilon_{250}/\varepsilon_{260}$ 0,88; $\varepsilon_{270}/\varepsilon_{260}$ 1,06; $\varepsilon_{280}/\varepsilon_{260}$ 1,18; $\varepsilon_{290}/\varepsilon_{260}$ 1,07; $\varepsilon_{302}/\varepsilon_{260}$ 0,72. Возврат *d(panC-T-bzA)* 42%, *d(pibG-bzA)* 52%.

После аммонолиза получили *d(pC-T-A-G-A)*, $R_{\text{дpt}}$ 0,34 (система Б); нуклеотидный состав: dpC — dpT — dpA — dpG 1,0 : 1,0 : 1,9 : 1,0.

4. *d(panC-T-bzA-ibG-bzA-anC-anC-bzA)* (IV) получили взаимодействием 1800 ОЕ₂₈₀ (24 мкмоль) *d[(CNEt)panC-T-bzA-ibG-bzA]*, 8600 ОЕ₂₈₀ (140 мкмоль) *d[panC-anC-bzA(Ac)]* (см. [4]) и 190 мг (650 мкмоль) TPS в 2 мл пиридина (6 ч, 20°). По окончании реакции смесь вылили в эфир и осадок отделяли центрифугированием. После щелочного гидролиза (2 мл 1 н. NaOH в 25%-ном пиридине, 20 мин при 0°) и нейтрализации катионитом хроматографировали на колонке с DEAE-целлюлозой (Cl^-) (см. рис. 2). Объединенные фракции, отвечающие пику октануклеотида (IV), разбавили двумя объемами воды и обессоливали на колонке с DEAE-целлюлозой (HCO_3^- ; 2×20 см), отмывая от Cl^- -ионов 300 мл 0,05 М TEAB и затем элюируя 200 мл 0,5 М TEAB. Выделенное вещество (600 ОЕ₂₈₀) рехроматографировали на DEAE-целлюлозе (Cl^- ; $0,9 \times 30$ см) в линейном градиенте NaCl в 7 М мочевине, содержащей 0,02 М трис-HCl

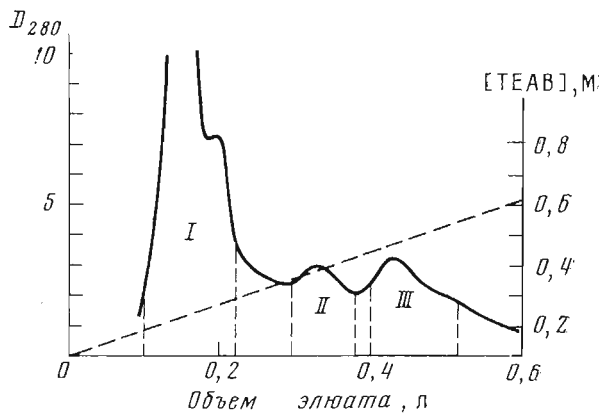


Рис. 3. Выделение декануклеотида (V) (опыт 5а). Хроматография на колонке с DEAE-сепадексом (HCO_3^- ; $0,7 \times 25 \text{ см}$) в линейном градиенте TEAB в 20%-ном спирте ($0,4 \text{ л } 0,1 \text{ M} - 0,4 \text{ л } 0,8 \text{ M}$), фракции по 2 мл/20 мин. Пик I содержит 1260 OЕ_{280} d(panC-ibG), пик II — 150 OЕ_{280} октануклеотида (IV), пик III — 295 OЕ_{280} декануклеотида (V)

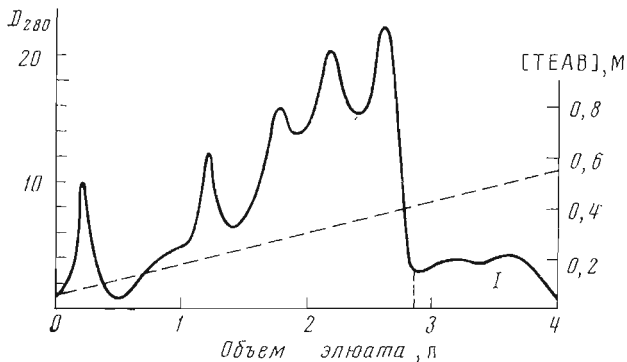


Рис. 4. Выделение декануклеотида (V) (опыт 5б). Хроматография на колонке с DEAE-целлюлозой (HCO_3^- ; $2,5 \times 35 \text{ см}$) в линейном градиенте TEAB в 25%-ном спирте ($3 \text{ л } 0,1 \text{ M} - 3 \text{ л } 0,75 \text{ M}$), фракции по 10 мл/12 мин. Пик I (3000 OЕ_{280}) содержит декануклеотид (V)

($0,25 \text{ л } 0,1 \text{ M} - 0,25 \text{ л } 0,22 \text{ M}$), собирая фракции по 4 мл/30 мин. После обессоливания, как описано выше, получили 420 OЕ_{280} (14%) октануклеотида (IV), $R_{\text{дpt}}$ 0,22 (система А), $\lambda_{\text{макс}} 283 \text{ нм}$, $\varepsilon_{250}/\varepsilon_{260} 0,88$; $\varepsilon_{270}/\varepsilon_{260} 1,13$; $\varepsilon_{280}/\varepsilon_{260} 1,30$; $\varepsilon_{290}/\varepsilon_{260} 1,23$; $\varepsilon_{302}/\varepsilon_{260} 1,06$. Возврат пентануклеотида (III) 44%, тринуклеотида d(panC-anC-bzA) 43%.

После аммонолиза (72 ч при 20° , 3 ч при 50°) получили d(pC-T-A-G-A-C-C-A). $R_{\text{дpt}}$ 0,19 (система Б), нуклеотидный состав: dpC — dpA — dpG — dpT 2,8 : 2,7 : 1,0 : 1,3.

5. d(panC-T-bzA-ibG-bzA-anC-anC-bzA-anC-ibG) (V). а) Получили конденсацией 800 OЕ_{280} (7,5 мкмоль) d[(CNEt)panC-T-bzA-ibG-bzA-anC-anC-bzA] и 1500 OЕ_{280} (52 мкмоль) d[panC-ibG(Ac)] (см. [4]) в присутствии 90 мг (298 мкмоль) TPS в 0,5 мл пиридина (4,5 ч, 20°). Реакционную смесь при -20° обработали 0,7 мл 1 М пиридинового раствора триэтиламина, затем 0,7 мл воды и оставили на ночь при 4° . После гидролиза 2 мл 2Н. NaOH (20 мин, 0°) и нейтрализации дауэксом 50 (PyH^+) хроматографировали на колонке с DEAE-сепадексом (HCO_3^-) (см. рис. 3). Выход декануклеотида (V) 295 OЕ_{280} (29%), $R_{\text{дpt}}$ 0,18 (система А), $\varepsilon_{250}/\varepsilon_{260} 0,87$; $\varepsilon_{270}/\varepsilon_{260} 1,05$; $\varepsilon_{280}/\varepsilon_{260} 1,26$; $\varepsilon_{290}/\varepsilon_{260} 1,29$; $\varepsilon_{302}/\varepsilon_{260} 1,11$. Возврат октануклеотида (IV) 19%, динуклеотида d(panC-ibG) 84%.

б) Получен конденсацией 7200 ОЕ₂₈₀ (0,105 ммоль) d[(CNEt)panC-TbzA-ibG-bzA] с 11 300 ОЕ₂₈₀ (0,135 ммоль) d[panC-anC-bzA-anC-ibG(Ac)] (см. [4]) в присутствии 324 мг (1,07 ммоль) TPS в 3 мл пиридина (7 ч, 20°). После обработки, как в опыте ба, хроматографировали на колонке с DEAE-целлюлозой (HCO_3^-) (см. рис. 4). Фракции 290—390 (3000 ОЕ₂₈₀) упарили досуха, растворили в 50 мл 7 М мочевины, содержащей 0,02 М трис-HCl (рН 7,5), нанесли на колонку с DEAE-целлюлозой (Cl^- ; 1,6 × 40 см) и хроматографировали в линейном градиенте концентрации NaCl

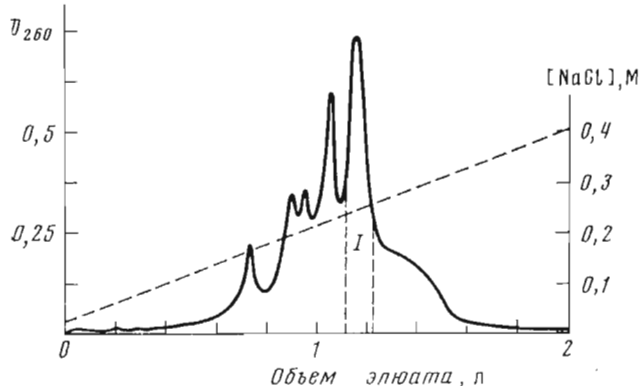


Рис. 5. Хроматография декануклеотида (VI) на колонке с DEAE-целлюлозой (Cl^- ; 1,6 × 32 см) в градиенте концентрации NaCl в 7 М мочевине, содержащей 0,01 М трис-HCl, рН 7,5 (1 л 0,05 М — 1 л 0,4 М), фракции по 5 мл/10 мин. Пик I содержит 40 ОЕ₂₈₀ декануклеотида (VI)

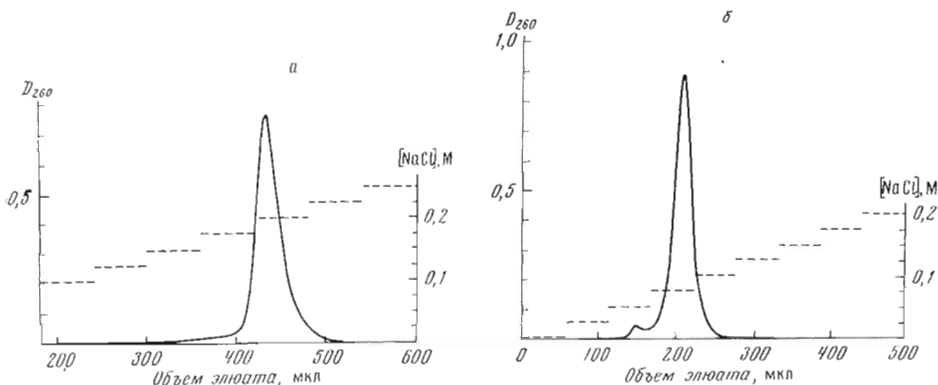


Рис. 6. Микроколоночная хроматография декануклеотида (VI). Колонка с DEAE-целлюлозой (Cl^- ; 0,8 × 80 мм); градиент концентрации NaCl в 7 М мочевине, содержащей 0,02 М трис-HCl, скорость 360 мкл/ч; регистрация поглощения при 260 нм с помощью микроспектрофотометрической приставки МСФП-1; а — при рН 7,0, б — при рН 3,5

(1 л 0,05 М — 1 л 0,3 М) в том же растворе. Фракции, соответствующие декануклеотиду (V) ($\epsilon_{280}/\epsilon_{302}$ 1,13), объединили, разбавили водой и обессолили на колонке с DEAE-целлюлозой (HCO_3^- ; 1 × 35 см), как в опыте 4. Получили 2100 ОЕ₂₈₀ (13%) защищенного декануклеотида (V). Часть этого вещества (100 ОЕ₂₈₀) обработали 5 мл 25% NH_3 (72 ч. при 20°, затем 3 ч при 50°), раствор проэкстрагировали этилацетатом (2 × 2 мл) и эфирем (3 × 2 мл), упарили досуха, растворили в 2 мл 7 М мочевины, содержащей 0,01 М трис-HCl (рН 7,5), и хроматографировали на DEAE-целлюлозе (Cl^-) (см. рис. 5). Объединенные фракции, соответствующие декануклеотиду (VI), обессолили на колонке с DEAE-целлюлозой (HCO_3^- ; 1,8 × 5 см). Получили 40 ОЕ₂₈₀ незащищенного декануклеотида (VI), R_{dpT} 0,11 (система Б); λ_{\max} 260 нм (рН 7) и 267 нм (рН 1); $\epsilon_{250}/\epsilon_{280}$ 0,86;

$\varepsilon_{270}/\varepsilon_{260}$ 0,88; $\varepsilon_{280}/\varepsilon_{260}$ 0,62; $\varepsilon_{290}/\varepsilon_{260}$ 0,21 (pH 7); $\varepsilon_{250}/\varepsilon_{260}$ 0,76; $\varepsilon_{270}/\varepsilon_{260}$ 1,02; $\varepsilon_{280}/\varepsilon_{260}$ 0,87, $\varepsilon_{290}/\varepsilon_{260}$ 0,88 (pH 1,0); нуклеотидный состав: dpT — dpG — dpA — dpC 1,0 : 1,9 : 2,9 : 4,1 (результаты микроколоночной хроматографии см. рис. 6).

6. Получение и частичный гидролиз меченого декануклеотида (VI). Дефосфорилирование проводили иммобилизованной щелочной фосфатазой *E. coli* (КФ 3.1.3.1) в условиях, описанных в работе [10], 5'-рефосфорилирование с помощью ^{32}P -ATP (о его получении см [11]) и T4-полинук-

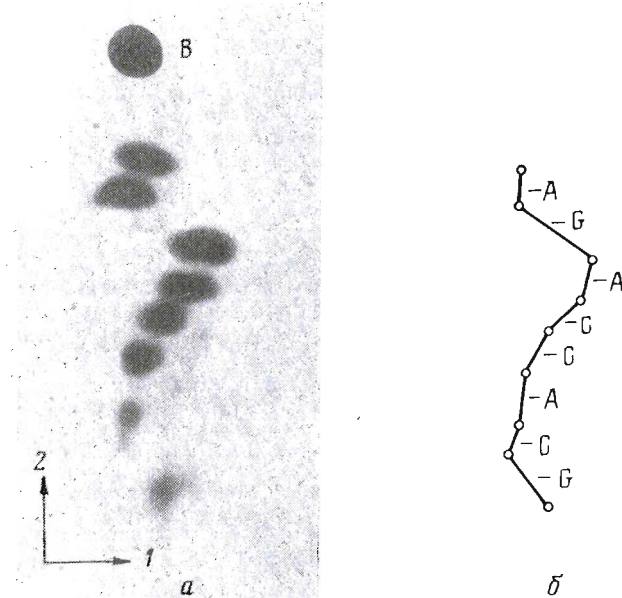


Рис. 7. Двухмерное разделение частичного гидролиза декануклеотида $d(^{32}\text{P}-\text{C}-\text{T}-\text{A}-\text{G}-\text{A}-\text{C}-\text{C}-\text{A}-\text{C}-\text{G})$ из опыта 6 (В — ксиленцианол FF). Первое направление — электрофорез на ацетилцеллюлозе при pH 3,5, второе — гомохроматография на DEAE-целлюлозе; *a* — радиоавтограмма, *б* — схема

леотидкиназы (КФ 2.7.1.78) — по методике [12], а частичный гидролиз фосфодиэтеразой змеиного яда (КФ 3.1.4.1). («Worthington», США) — как описано в работе [13]. Электрофорез на ацетилцеллюлозе (3×55 см; «Schleicher und Schüll», ФРГ) проводили при напряжении 5 кВ в течение 50 мин в пиридин-ацетатном буфере, pH 3,5 [14]. Для гомохроматографии (условия см. в работе [15]) на стеклянные пластинки (20×20 см) накатывали томогенизированную и дегазированную супензию, содержащую 1 г DEAE-целлюлозы DE-41 («Whatman», Англия), 7,5 г целлюлозы MN-300 («Serva», ФРГ) и 50 мл воды; полученный фингерпринт приведен на рис. 7.

Авторы выражают благодарность М. Ф. Шемякину и А. В. Честухину (Институт биоорганической химии АН СССР) за предоставленный препарат T4-полинуклеотидкиназы.

ЛИТЕРАТУРА

- Berlin Yu. A., Chakhmakhcheva O. G., Efimov V. A., Kolosov M. N., Kotobko V. G. (1973) Tetrahedron Lett., 1353, 1354.
- Eur. J. Biochem. (1970) 15, 203—208.
- Бадашкеева А. Г., Берлин Ю. А., Болдырева Е. Ф., Ивановская М. Г., Кляэрре Д. Г., Колосов М. Н., Коробко В. Г., Прокофьев М. А., Смирнов В. Д., Шабарова З. А., Шубина Т. И. (1973) Химия природы. соедин., 394—402.

4. Берлин Ю. А., Болдырева Е. Ф., Ефимов В. А., Колосов М. Н., Коробко В. Г., Полякова И. А., Чахмахчева О. Г., Чупрунова О. А. (1973) Химия природн. соедин., 402—410.
5. Agarwal K. L., Yamazaki A., Cashion P. J., Khorana H. G. (1972) Angew. Chem., 84, 489—498.
6. Кузьмин С. В. (1973) в сб. Ультрамикроанализ нуклеиновых кислот (под редакцией Кюорре Д. Г. и Бенкстера Т. В.), стр. 95—103, «Наука», М.; Грачев М. А., там же, стр. 104—122.
7. Ling V. (1972) J. Mol. Biol., 64, 87—102.
8. Galibert F., Sedat J., Ziff E. (1974) J. Mol. Biol., 87, 377—407.
9. Kumar A., Khorana H. G. (1969) J. Amer. Chem. Soc., 91, 2743—2749.
10. Берлин Ю. А., Дьяков В. Л., Колосов М. Н. (1974) Биохимия, 39, 747—751.
11. Glynn I. M., Chappell J. B. (1964) Biochem. J., 90, 147—149.
12. Sgaramella V., Khorana H. G. (1972) J. Mol. Biol., 72, 427—443.
13. Brownlee G. G., Sanger F. (1969) Eur. J. Biochem., 11, 395—399.
14. Sanger F., Brownlee G. G. (1967) in Methods of Enzymology, v. XII, part A, pp. 361—381, Academic Press, New York — London.
15. Brownlee G. G. (1972) Determination of Sequences in RNA, pp. 136—142, American Elsevier, New York.

Поступила в редакцию
3.II.1975

SYNTHESIS OF OLIGO- AND POLYNUCLEOTIDES.

V. THE SYNTHESIS OF THE DECADEOXYRIBONUCLEOTIDE COMPLEMENTARY TO THE 6-15 SEGMENT OF THE YEAST tRNA₁^{Val}

BERLIN Yu. A., BOLDYREVA E. F., WULFSON A. N.,
KOLOSOV M. N., KOROBKO V. G., CHUPRUNOVA O. A.

*M. M. Shemyakin Institute of Bioorganic Chemistry,
Academy of Sciences of the USSR, Moscow*

Decadeoxyribonucleotide dpC-T-A-G-A-C-C-A-C-G complementary to the 6-15 segment of the yeast tRNA₁^{Val} has been chemically synthesized from 5'-terminal dinucleotide by sequential condensations with mono-, di-, tri- and dinucleotide, or with mono-, di- and pentanucleotide.